

### III-10 振動荷重を受けた基礎ぐいの挙動

日本道路公団 試験所 正員 佐藤 昭

同上 建設第1部 正員 ○荒川直士

大成建設 KK 土木部 正員 向井 浩

#### 1. まえがき

基礎ぐいに静的水平荷重を作用させた場合、荷重  $P$  とくい頭の変位  $\delta$  は非線型な関係を示すことは周知の通りである。この場合の非線型性は  $P = C \delta^n$  ( $C$ : 定数,  $0 < n < 1$ ) なる式で示し得ることが多い。実際の基礎ぐいの設計にあつては、この式より原点と  $P$  の曲線上の1点を結び、その勾配をもって静的なばね定数として用いている。しかしながら地震のような動的な荷重を受ける場合との非線型性が及ぼす影響についてはあまり明確ではない。そこでくいの静的、動的水平載荷試験を進み非線型性の及ぼす影響の定量的な把握を試みた。實験はまず模型ぐいによる水平載荷実験を行なって基礎しをみて正後、実物ぐいの実験を実施した。

#### 2. 模型実験

模型ぐいとして鋼板(厚さ 16 mm, 幅 9 cm, 長さ 130 cm)を用い、巾 1.5 m, 深さ 1.5 m, 長さ 5 m のコンクリートの砂層に立て込み、砂をタンパーにより一定の密度 ( $2.097 \text{ g/cm}^3$ ) となるように薄刃駆圧した。用いた砂の粒度分布を図-2 に示す。なお実験時の人工砂層の含水比は 10~12% であった。

静的載荷実験の荷重段階は 10 kg 単位で行ない、変位量が 5 分間に 0.02 mm 以下になった状態で次の段階に移行した。なお載荷点は地表 50 cm である。

動的載荷実験は、起振機(最大慣性力 10 kg at 10 Hz)による強制振動および荷重急遽除去による自由振動の2方法によった。荷重急遽除去は図-1 中の切断金具の部分を切断することによった。又くい頭質量の影響をも調べるためにその質量を変化させて実験を行なった。

#### 3. 実験結果

静的載荷実験より得られた荷重一変位曲線を図-3 に示す。ただしここの変位は載荷位置における変位を示す。歪測定結果より最大荷重時の応力は  $700 \text{ kg/cm}^2$  前後があり、くい本体は弾性範囲内にあるものとみなし得る。荷重一変位の外せ曲線は  $P = C \delta^n$  において  $n = 0.825$ ,  $C = 7.13 \text{ kg/mm}^n$  となった。

強制振動より得られた固有周期一起振力( $m r \omega^2$ )の関係を図-4 に、自由振動より得られた固有周期-初期載荷荷重の関係を図-5 に示す。この図より、おもむね  $T \propto (m r \omega^2)^{0.1}$ ,  $T \propto H^{0.1}$

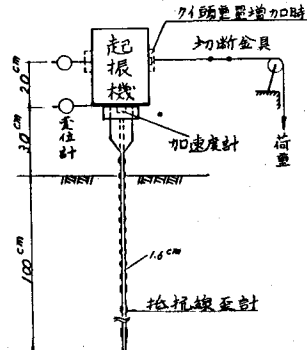


図-1 鋼板くい振動実験

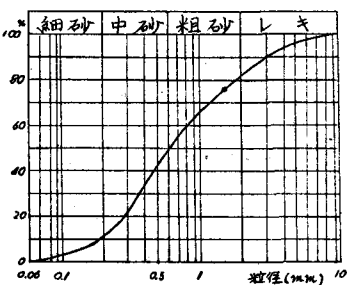


図-2 粒度分布曲線

存し関係が想定できる。ここに  $T$ : 固有周期,  $mrw$ :

起振機による起振力,  $H$ : 自由振動における初期荷重である。固有周期  $T$  と質量  $M$  の関係は  $T \propto M^{0.5}$  であることを確認した。以上の結果から

$$T = D \cdot M^{0.5} P^{0.10} \quad (1)$$

の実験式が得られる。ここに  $P$  は起振機の起振力 ( $= mrw^2$ ) である。は自由振動実験における初期載荷重量,  $D$ : 定数。

#### 4 現場打ちコンクリートタイによる実験および結果

模型実験と同様の実験を場所打ちコンクリートタイについて行なった。実験設備を図-6, 土質柱状図を図-7 に示す。荷重載荷

方法は模型実験における場合と同様とした。静的実験結果を図-8 に示す。最大荷重時の本体の応力は歪測定結果より  $\sigma = 25.2 \text{ kg/cm}^2$  となる。この値はくび断面の引張側では弹性域を脱離する可能性がある値である。荷重変位の特性曲線は  $P = C S^n$  において  $n = 0.693$ ,  $C = 6.73 \text{ kg/mm}^2$  となる。

動的実験結果を図-9, 図-10 に示す。模型実験と同様に  $T$ ,  $M$ ,  $P$  の関係を求めると

$$T = D M^{0.5} P^{0.075} \quad (2)$$

となる。

#### 5. 考察

以上 3, 4 において固有周期と荷重の関係の実験式を求めたが、この式が荷重の変化と共に固有周期も変化する。

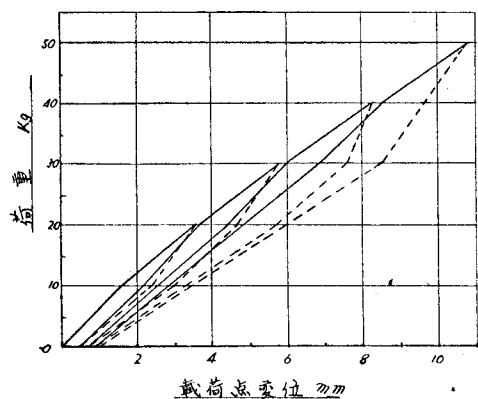


図-3 荷重-変位曲線

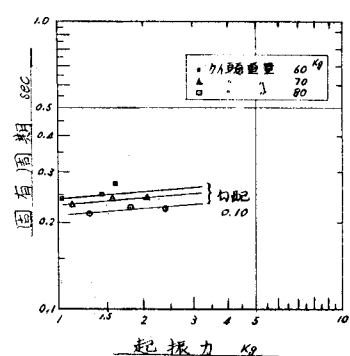


図-4 強制振動実験(鋼板タイ)

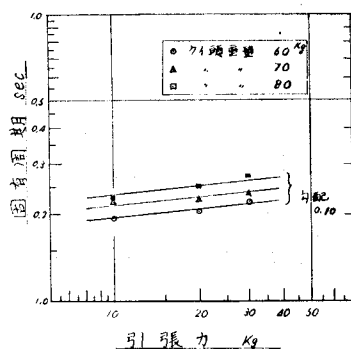


図-5 自由振動実験(鋼板タイ)

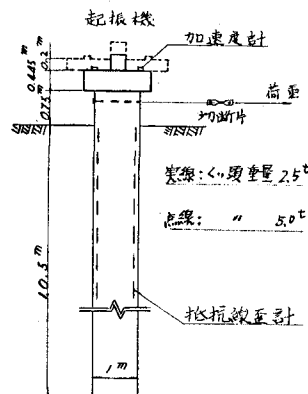


図-6 実物大振動実験

標 尺 寸 寸 寸 寸 寸 寸 寸 寸 寸 寸	土 質 名	標準貫入試験						彈 性 K <sub>A</sub> 値 kg/cm <sup>2</sup>	試 験 グ ル	
		0	10	20	30	40	50			
0	砂	-	-	-	-	-	-	1.14	2.69	84
1	シルト泥	-	-	-	-	-	-	0.96	2.69	300
2	細砂	-	-	-	-	-	-			50
3	-	-	-	-	-	-	-			
4	-	-	-	-	-	-	-			
5	砂質	-	-	-	-	-	-			
6	シルト	-	-	-	-	-	-			
7	シルト泥	-	-	-	-	-	-			
8	細砂	-	-	-	-	-	-			
9	小粒度泥	-	-	-	-	-	-			
10	中砂	-	-	-	-	-	-			
11	細砂	-	-	-	-	-	-			

図-7 土質柱状図

ことが読みとれ、また荷重-変形曲線が非線型を示しているとも解釈できる。今ここに、その非線型性を静的載荷試験における荷重-変形曲線の处处曲線を求める場合について検討する。

前述した通り、くい頭部における荷重-変形曲線の非線型性を 図-11 に示すようだ

$$P = C \delta^n \quad (3)$$

と示す。振動時におけるばね定数として同図上の OA の勾配を使用すると

$$P = K\delta \quad (4)$$

両式より  $K = C^{\frac{1}{n}} P^{\frac{n-1}{n}}$  が得られる。

$$\begin{aligned} \text{固有周期 } T &= 2\pi \sqrt{\frac{M}{K}} \\ &= D \cdot M^{\frac{1}{2}} \cdot P^{\frac{1-n}{2n}} \quad (5) \\ \text{ただし } D &= 2\pi C^{-\frac{1}{2n}} \end{aligned}$$

と示すことができる。

静的載荷試験より 鋼板模型ぐいの場合  $n = 0.825$

$$\text{であるから } T = D \cdot M^{\frac{1}{2}} \cdot P^{0.106} \quad (6)$$

一方 現場打コンクリートぐいの場合  $n = 0.693$

$$\text{であるから } T = D \cdot M^{\frac{1}{2}} \cdot P^{0.222} \quad (7)$$

となる。

(1)式、(2)式 および (6)式、(7)式を比較すると ほぼ線型に近い模型ぐいにおいては 荷重の変化に対する固有周期の変化はあまり差がないが コンクリートぐいの場合は 剛線勾配を仮定して求めた(7)式は 実験より求めた(2)式とかなり異なっている。換言すれば 刚線勾配をもつ乙動的なばね定数とするのは不適当と思われる。

今回の実験の範囲は現場打ちコンクリートの応力がかなり大きいものまでであったにかかわらず、その非線型性の固有周期に与える影響は非常に小丁かつた。

### 参考文献

- 1) 谷本喜一：杭基礎の耐震性に関する基礎的研究  
(土木学会誌 第46巻第4号)
- 2) E. Kuribayashi and T. Iwasaki : Observed Earthquake Responses of Bridges ( Proc. of 4th CEE Chile Jan. 1969 )

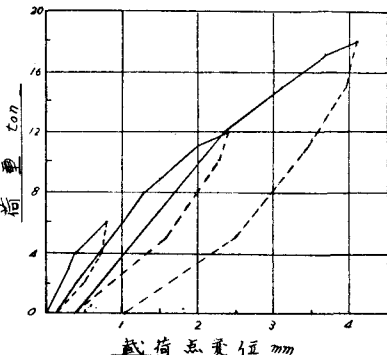


図-8 荷重-変位曲線

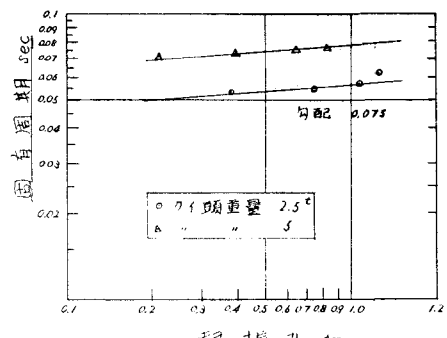


図-9 強制振動実験(実物グリ)

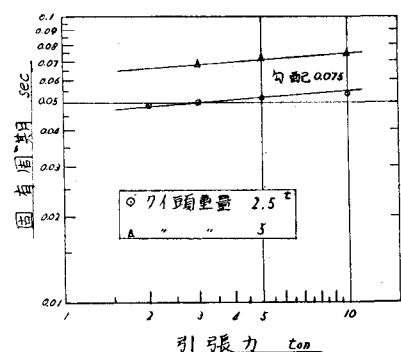


図-10 自由振動実験(鋼板グリ)

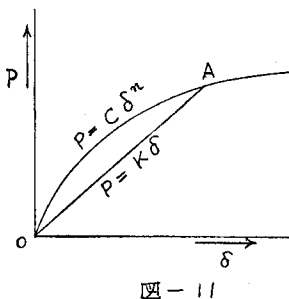


図-11